

## Masif Gövdeli Köprü Protezlerinde Gövde Kalınlıklarının Fotoelastik Yöntemle İncelenmesi (\*)

Doç. Dr. Yalçın AKÖZ (\*\*) — Doç. Dr. Erdal POYRAZOĞLU (\*\*\*)  
As. Cetin SEVÜK (\*\*\*\*)

### GİRİŞ :

Kaybolan diş veya dişlerin yerine uygulanacak köprü protezleri estetik, hijyenik, fonetik ve bio-fizyo-mekanik faktörleri restore edecek nitelikte olmalıdır. Diş kayıplarının sıklıkla görüldüğü ve ciğneme basınclarının yoğun olduğu posterior bölgede en önemli sorun protezin sağlamlığıdır. Bu faktör, köprü protezinin yapım materyalinin özelliği, konstrüksiyonu ve ciğneme fonksiyonu esnasında ortaya çıkan yükleri çene kemигine iletken sistemin yapısal uygunluğuna bağlıdır. Ciğneme fonksiyonu esnasında ortaya çıkan kuvvetler taşıyıcı sistem elemanlarına, yani; çapalar-gövde ve dayanaklara, uygun olarak dağıtilır. Her taşıyıcı eleman, üzerlerine gelecek yükleri

(\*) İstanbul III. Uluslararası Dişhekimliği Haftasında töbliğ edilmiştir, 1976.

(\*\*) İ. T. Ü. İnşaat Fak. Teknik Mekanik Kürsüsü Doçenti

(\*\*\*) İ. Ü. Dişhek. Fak. Kuron-Köprü Protezi Kürsüsü Doçenti.

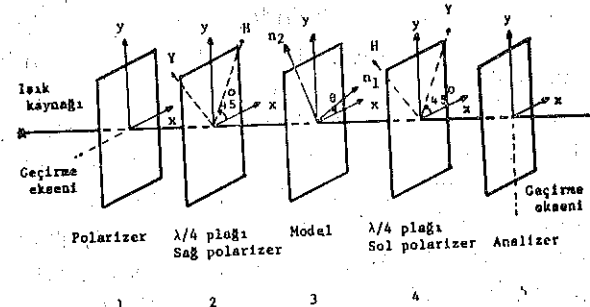
(\*\*\*\*) İ. Ü. Dişhek. Fak. Kuron-Köprü Protezi Kürsüsü Asistanı.

kaldırabilecek boyutta planlanmışa yapısal uygunluk ve sağlamlık şartı yerine getirilmiş sayılır.

Bu araştırmada, çığneme yükünün taşıyıcı sistem içinde ortaya çıkardığı gerilme dağılışı «Fotoelastisite» yöntemi ile araştırılmış elde edilen sonuçların işiği altında köprü protezlerinin boyutlandırılması amaç edinilmiştir.

### FOTOELASTİSITE VE ÇUBUK MUKAVEMETİ :

Saydam cisimler yük altında çift kırılma özelliği gösterirler. Böyle bir cisim polariskopta gözlenirse, bir çok renkli çizgi görüür (Şekil 1). Bunlara girişim çizgileri denir. Girişim çizgileri, levha, içindeki gerilmelerin hesaplanması yardımcı olur. Şekil 1'de gösterilen polariskop «Karantik alanlı polariskop» adını alır.



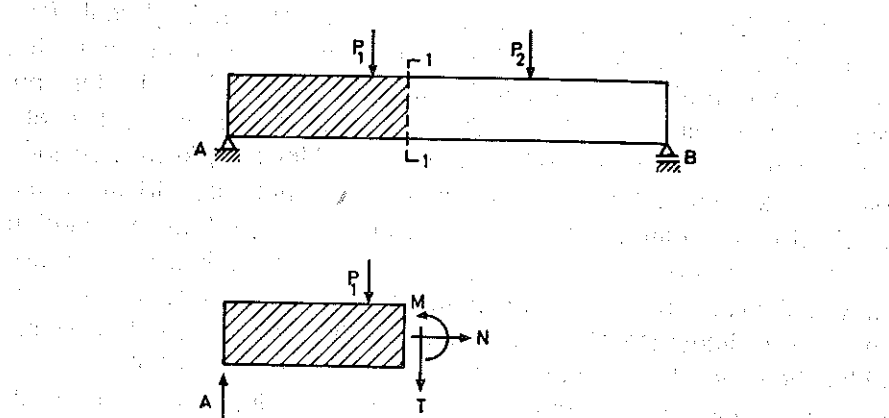
Şekil 1.: Polariskopun yapısı ve elementleri.

Böyle bir polariskopta girişim çizgileri sıfırdan başlamak üzere 1, 2, 3 ..... gibi değerler alırlar. Sıfır numaralı girişim çizgisi her zaman siyah renkte olduğu için tanımak kolaydır. Diğer çizgilere numara vermek biraz tecrübe ve dikkat gerektirir. Polariskopta inceleen levhaya bakıldığından, dikkat edilirse renkler sarı, kırmızı ve mavi olarak tekrarlanır. Kırmızı ile mavının kesim noktası, girişim çizgisi merkezi olarak alınır. Girişim çizgileri numaraları, atlama yapmadan, sürekli olarak değişirler. Bir çizgiden diğerine geçerken sarı, kırmızı, mavi şeklindeki renk değişimi numaranın artımını, aksi sıra ise numarada azalmayı işaret eder. Bu kurala göre numarası belirli bir çizgiden başlanarak; örneğin, sıfır nolu siyah çizgiden bütün girişim çizgileri numaralanır. Numaralarına göre, girişim çizgilerinin renklerinde, tecrübeli gözlerin farkedeceği, bazı ton değişimleri vardır. Bunlardan en karakteristiği; bir numaralı çizgideki mavi rengin ye-

rini, diğer girişim çizgilerindeki değişik tonlardaki yeşil renkler alır. Çizgiler numaralandıktan sonra gerilmeler bağlantısına göre hesap-

$$t_1 - t_2 = \frac{cn}{b} \quad \dots \dots \dots \quad (1)$$

lanırlar [1]. Burada  $t_1$ ,  $t_2$  incelenen noktadaki asal gerilmeyi, n girişim çizgisinin numarasını, b levhanın kalınlığını, c ise kullanılan malzemenin optik özelliğini gösterir. Şekil 1'de gösterilen analizör, düzleme dik eksen etrafında  $90^\circ$  döndürülerek geçirme ekseni polarizöre paralel hale getirilirse «Aydınlık alanlı polariskop» elde edilir. Aydınlık alanlı polariskopta, siyah renkli sıfır çizgisi görülemez. Girişim çizgileri 0,5'den başlamak üzere 1,5 - 2,5 - 3,5 gibi numaralar alır. Köprü protezinin belirli bir ölçekte büyütülp plastikten yapılan modeli polariskopta incelendiğinde, mukavemet bilim dalında «çubuk» diye isimlendirilen taşıyıcı eleman gibi davranışının görülebilir. Köprü modeli üzerinde deneye geçmeden önce yukarıdaki bilgilerin, çubuk mukavemetine uygulanışını kısaca özetlemek yararlı olacaktır. Düzlemsel bir çubuga yine düzlemsel dış yükler etkisese, çubukta üç türlü **İç kuvvet** doğar. Bunlar M momenti, N normal kuvveti ve T kesme kuvvetidir. Bu iç kuvvetler;  $P_1$ ,  $P_2$  dış yükleri ile A ve B reaksiyon kuvvetleri altında dengede duran bir çubugun, i-i boyunca kesildiği düşünülerek ayrılan parçanın dengesini sağlamak üzere, i-i kesitine eklenip üç denge denklemi kullanılarak hesaplanabilir [2], (Şekil 2).



Şekil 2 : Basit kırışte kesit tesirleri.

Çubuk mukavmetinde  $t_2 = 0$  olarak kabul edildiği için denklem (1) basitleşir.

$$t_1 = c \frac{n}{b} \dots \dots \dots \quad (2)$$

olarak yazılabilir. Çubukun bir kesitine sadece M momenti gelirse, çubuk kalınlığı boyunca gerilme dağılımı doğrusaldır (Şekil 3). Değeri

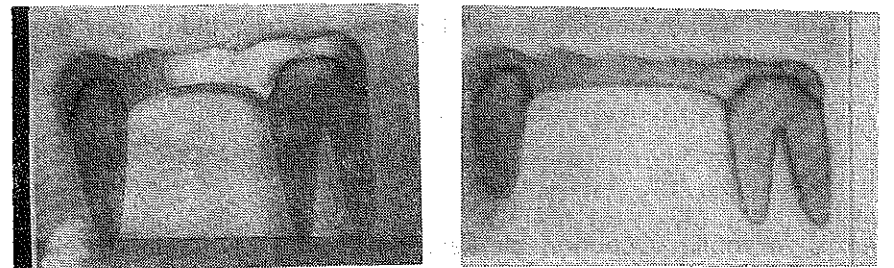
olarak bulunabilir. Burada, y gerilme hesaplanacak noktanın koordinatı, I ise çubuk kesitinin atalet momentidir. Atalet momenti, çubuk kesit alanı ile yüksekliğin karesi ve kesit geometrisine bağlı bir katsayı değerinin çarpımı ile bulunan değerdir. Bu sabit, dikdörtgen kesit için  $(1/12)$ , daire kesit için  $(\pi/4)$ , üçgen kesit için ise  $(1/36)$ , değerini alır. Denklem (3), denklem (2) de yerine konursa

$$n = \frac{bM}{c} y \quad \dots \dots \dots \quad (4)$$

bulunur. Bu da bize moment etkisinin çubuk ağırlık merkezinde, sıfır numaralı girişim çizgisi olmak üzere, kenarlara doğru artan numarada girişim çizgileri oluşturduğunu gösterir. Sadece momentin etkili olduğu bir çubuk parçasında, birbirine平行 girişim çizgileri görülür. Normal kuvvet etkimesi halinde gerilme, çubuk yüksekliği boyunca uniform dağıldığı için, polariskopta normal kuvvet etkisindeki çubuğa bakıldığında bütün çubuğun aynı renkte gözükeceği açıktır. Kesme kuvveti çubuğa tek başına etkimez. Her zaman eğilme momenti ile birlikte bulunur. Eğilme momenti ile kesme kuvvetinin etkili olduğu çubuğa bakıldığında, yine moment etkimesi halinde olduğu gibi, birbirine平行 olarak çizgiler görülür. Burada pürmoment durumdan en büyük fark, çubuk orta noktasında sıfır numaralı siyah renkteki girişim çizgisi gözükmez.

DENEYLER

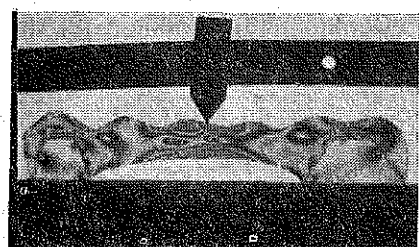
PLM—5 plastikinden 35-37 ve 34-37 no'lu dişler arasında iki adet masif gövdeli köprü modeli hazırlanmıştır (Şekil 3-4).



Şekil 3-4 : Üç ve dört üyeli deney modeli.

Her iki modelde önce serbest, sonra dayanaklara yapıştırılarak gövde orta noktasından  $P = 8,2$  kg. la yüklenmiştir. Kullanılan malzemenin  $c$  optik katsayısını bulmak için, biri moment diğer çektme çubuğu olmak üzere iki ayrı kalibrasyon deneyi yapılmış ve  $c = 11$  kg/cm bulunmuştur.

Sınırları açıkça görebilmek için model aydınlatık alanlı polariskopta incelenmiştir.



Şekil 5 : Çapaları simmente edilmiş, dört üyeli modelin, aydınlatık alanlı polariskoptaki görüntüsü.

Daha önce çubuk için verilen bilgilerden köprüün kesmeli eğilme etkisinde olduğunu görebiliyoruz (Şekil 5). Fakat kesme kuvvetinin ortaya çıkardığı en büyük gerilmeler çubuk ortasında, moment gerilmeleri ise çubuğun kenarlarındaki girişim çizgilerinden okunabilir. Bu kuralla göre kesme kuvvetinin gerilmelere etkisini, momentin yarattığı gerilmelere göre, ihmäl edilebileceği resimden görülmektedir. Tekil yükün etkidiği kesitteki  $M$  eğilme momenti, denklem (4) ten hesaplanabilir. Bunun için en distancki girişim çizgisi değer alınır-

$h$   
sa  $y = \frac{h}{2}$  olmak gereklidir. Çubuk kesitinin dikdörtgen olduğu düşü-

nülürse,  $I$  ağırlık momenti hesabındaki katsayıının  $1/12$  olduğu hatırlanarak

$$M = \frac{\chi^2}{n} \quad \text{.....(5)}$$

bağlantısı bulunabilir. Modelde  $h = 1,5$  cm olarak ölçülmüştür. Değerler yerine konursa

$$Ma = \frac{11 \times (1,5)^2}{6} (5,5) = 22,68 \text{ kgcm} \quad \dots\dots\dots (6)$$

bulunur. Aynı işlem büyük ve küçük ağıçaplar için yapılmak istenirse, buralardaki çubuk yüksekliği için  $h = 0,8$  cm, girişim çizgisi numarası için ise 3.5 olmak gereklidir. Bu takdirde kenar momenti

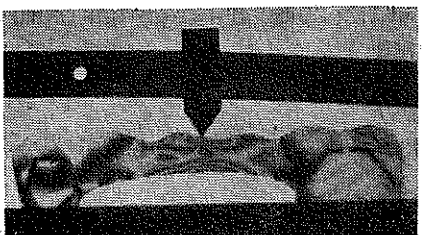
bulunur. Görüldüğü gibi kenar momenti açıklık momentinin % 20'si civarında olmasına rağmen, bu küçük momentin kenarda oluşturduğu gerilime, açıklıktaki gerilmenin % 60'ı civarındadır. Eğer buralardaki kalınlık 0,6 cm civarında olsa, orta noktadan daha kritik bir nokta olacaktır. Sistemin basit kiriş esasına göre çalıştığı kabul edilerek ve oturma noktaları arasındaki açıklıkları  $= 12,4$  cm alınırsa, denge esasından kenardaki moment sıfır ve açıklıktaki momentse

$$M = \frac{P l}{4} = \frac{8,2 \times 12,4}{4} = 25,42 \text{ kg. cm} \quad \dots\dots\dots (8)$$

bulunur ki, bu yukarıda bulunan açılık momentinden büyük, yaklaşık olarak, kenar ve açılık momentleri toplamına eşittir.

DENNEY : 2

Yukarıdaki deney bu kez; köprü, dayanak dışlere simantı edile-rek, aynı yükle yüklenip tekrar edilmiştir. Şekil 6'da görüleceği gibi kenarlardaki gerilme hemen hemen kaybolmuştur. Bu olay kenara gelen momentin dayanaklarla birlikte ortaklaşa taşınmasından ileri gelmektedir. Açıklıktaki gerilme, daha önceki gerilmenin % 60'ı civarındadır. Moment değeri ise denklem (5)'ten bulunabilir.



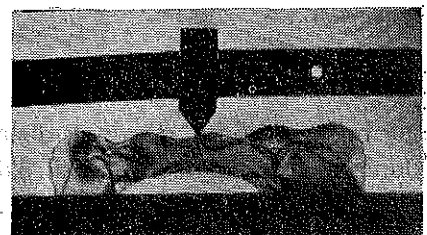
**Şekil 6 :** Çapaları sılmalte edilmiş, dört üyeli modelin, aydınlatılan polariskop-taki görüntüsü.

Sistemin ankastre kırış olarak çalıştığı kabul edilirse, statik açıtan bulungecek moment

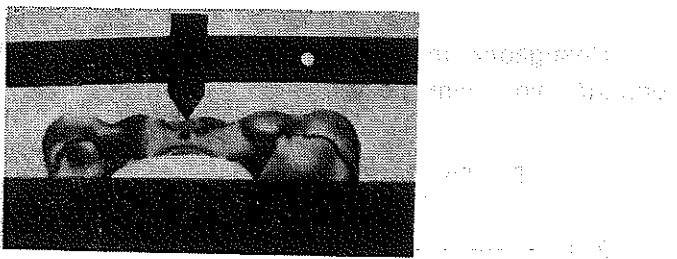
elde edilir. Görüldüğü gibi gerçekte elde edilen moment değeri, sistemin basit kırış ve ankastre kırış olması halindeki değerlerin arasındadır. Bu sonuç oturma noktalarının bir miktar dönmesi ile açıklanabilir.

DENEY : 3-4

**Sadece 36 numaralı dişin eksik olması halinde yapılan deney de, tamamen yukarıda anlatılan deneyi doğrular niteliktedir.**



**Şekil-7 : Çapaları simmetre edilmiş, üç üyeli modelin, aydınlatık alanı polaris kontakti görüntüüsü**

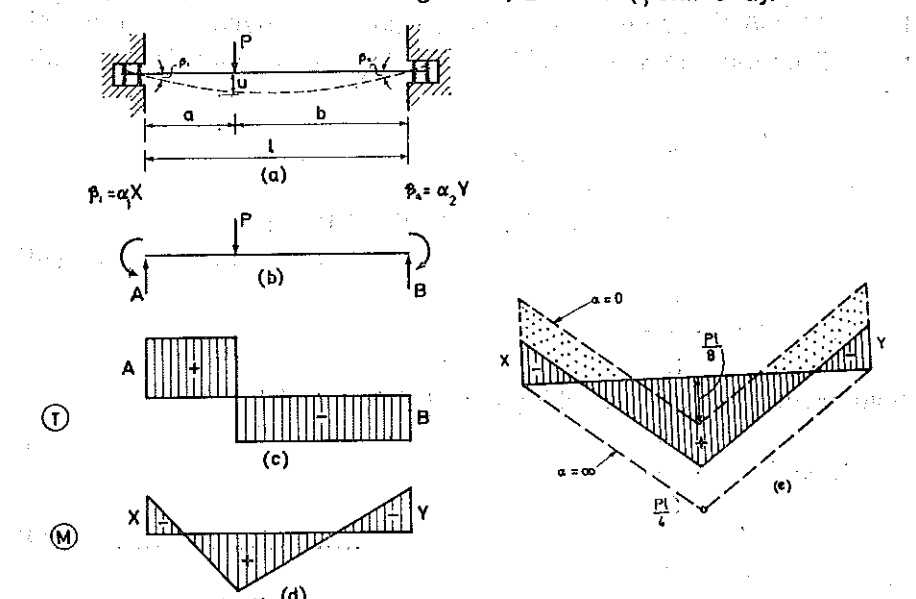


**Şekil 8 : Çapaları simmetre edilmiş, üç üyeli modelin, aydınlatık alanlı polariskoptaki görüntüsü.**

## **ELASTİK BAĞLANMIŞ ÇUBUK :**

Bu deneyin ışığı altında köprü protezlerinin hesabı için iki ucu elastik ankastre bir model yaparak gerekli formüller elde edilebilir. Dayanak dişler üzerine moment geldiğinde, momentle orantılı olarak döndüğünü kabul edelim; dönme açısı  $\beta$  dış. moment  $M$ , elastik katsayı  $\alpha$  ise

olsun.  $\alpha = \beta$  ise ankarastre bağı,  $\alpha = \infty$  ise hiç moment taşımayan maflı bağı hali bulunur. Gerçek ise bizim deneylerde gördüğümüz gibi  $\alpha$ 'nın sıfırla sonsuz arasında bir değer olmasıdır. Her iki ucunun elastik ankarastre katsayıları  $\alpha_1$  ve  $\alpha_2$  olan bir çubuğa P dış yükü etkirse, bunun serbest cisim diagramı çizilebilir (Şekil 9 q).



**Şekil 9 : Elastik ankastre kırışın iç kuvvet diyagramları.**

Castigiano teoremi ve bağ noktalarının denklem (11) e göre döndüğü varsayımlı ile

$$X = \frac{P_{ab} [b - 2\alpha_2 EI (1 + \frac{b}{I})]}{[I^2 - 4I (\alpha_1 + \alpha_1 \alpha_2) EI + 12\alpha_2 E^2 I^2]} \quad (12)$$

$$Y = \frac{P_{ab} [\alpha - 2\alpha_1 EI (2 - \frac{b}{I})]}{[I^2 - 4I (\alpha_1 + \alpha_2) EI + 12 \alpha_1 \alpha_2 E^2 I^2]} \quad (12)$$

$$A = \frac{1}{I} + \frac{b}{X-Y} P$$

$$B = \frac{1}{I} + \frac{a}{X-Y} P$$

bulunabilir. Burada  $I$  cubuğu atalet momenti,  $E$  ise cubuk malzemesinin elasitite modülüdür. Buna ait iç kuvvet diagramları Şekil 9 b, c, d'de gösterilmiştir. Sağ ve sol bağların katsayıları birbirine eşit ve yükün, kirişin tam orta noktasından etkimesi halinde (12) bağıntıları

$$X = Y = \frac{PI^2}{B} \frac{[I - 6\alpha EI]}{[I^2 - 8\alpha EI + 12\alpha^2 E^2 I^2]} \quad (13)$$

$$A = B = \frac{P}{2}$$

bulunur. İki ucu ankastre kiriş  $\alpha = 0$  konarak (13)'ten

$$X = Y = \frac{PI}{8} \quad (14)$$

$$A = B = \frac{P}{2}$$

elde edilir. Buna ait kesit diagramları çizilebilir Şekil 9 e). Her iki ucu serbest hal için denklem (13)'te  $\alpha = \infty$  konursa:

$$X = Y = \frac{O}{P} \quad A = B = \frac{S}{2} \quad \dots \dots \dots \quad (15)$$

elde edilir. Elastik ankastre çubuk ise bu iki ekstrem halin ortasında olup, Sekil 9 e'de olduğu gibi gösterilir. Şekilden görüldüğü gibi

PL  
açıklıktaki en büyük moment  $\frac{1}{4}$  tür.  $\alpha$  küçüldükçe moment di-

agramı yukarı kayar. Yani açıklık momentinin bir kısmı yan taraftaki bağ noktalarına taşınmış olur. Çubuk için kullanılan malzemenin kesiti ve E elestisite modülü  $\alpha$  katsayısı gibi etki eder. Yani küçük kesit ve yumuşak malzeme kullanılması moment diagramını yukarı, aksi hal ise aşağı kaydırır.

Köprü protezini boyutlandırmak için, açıklıktaki M momenti olarak

hesaplandıktan sonra

$$t_{em} = \frac{M}{\gamma_{max}} \dots \dots \dots \quad (17)$$

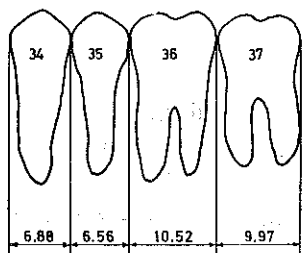
bağıntısı sağlanacak şekilde kesit seçilir. Emniyet gerilmesi emniyet katsayısına bölünerek bulunan rakamdır. Emniyet katsayısı 2 olarak alınmaktadır [3].

Köprü protezlerinin sağlamlığı kadar, orta noktadaki elastik çökmesinin yumuşak dokuları tahrif etmemesi de önemli bir faktördür. Bu nedenle orta noktadaki köprü protezi elastik çökmesi, Şekil 9-a da gösterilen en büyük çökme:

elarak hesaplanabilir.

## NÜMERİK UYGULAMA :

Örnek olarak şekil 10'da verilen ölçülerdeki dişlerden 35 ve 36 numaralar eksik olsun. Diş yük olarak  $P=35 \text{ kg}$ . alalım [3].

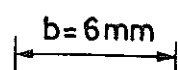


Şekil 10 : 34, 35, 36, 37 no'lu dişlerin mesio-distal boyutları (mm).

Köprü protezinin 22 ayar altın alaşımından yapıldığını düşünürsek, bu alaşının emniyet gerilmesi  $t = 2400 \text{ kg/cm}^2$  olarak alınabilir [4]. Protezin üçgen kesitli olduğu ve  $b$  genişliğini, dişlerin genişliği olan  $b = 6 \text{ mm}$ . olarak alalım ve gerekli  $h$  protez yüksekliğini hesaplamaya çalışalım. Önce I kiriş açıklığı Şekil 10 dan

$$I = \frac{6.88}{2} + 6.56 + 10.52 + \frac{9.97}{2} = 2.55 \text{ cm}$$

olarak hesaplanır [5].



Şekil 11 : Köprü modelinin kesiti.

Şimdi protezin her iki dayanak üzerinde serbestçe oturduğu hali, yani  $\alpha = \infty$  alalım. Bu, protezin en kötü şartlarda boyutlandırılması demektir. Çünkü bütün moment açıklıkta toplanır. Denklem (15) ve (16) da

$$P_i = 35 \times 2.55$$

$$M = \frac{P_i}{4} = \frac{35 \times 2.55}{4} = 22.31 \text{ kg.cm.}$$

elde edilir. Şimdi denklem (17) ve şekil 10 kullanılarak

$$22.31 = \frac{2400}{0.6h^3} \cdot \frac{h}{3}$$

36. 36. Bir köprüdeki protezin altındaki dayanıkların maksimum çökmesi 6 mm. olmak üzere, bu protezin boyutunu hesaplayınız.

bu denklemden  $h$  çözülürse

$$h = 6 \text{ mm.}$$

bulunur. Protezin diğer ekstremlerde yani momentin kenarlara poy edildiği  $\alpha = 0$  olması halinde hesap yaparsak denklem (14) ve (16) dan

bulunur. Yine (17) bağıntısı yardımı ile  $h = 4$  mm. elde edilir. Bu takdirde orta noktadaki elastik çökmeye denklem (17)'den kontrol edelim,

$$u = \frac{P_i^3}{192EI} = \frac{35 \times (2.55)^3}{192 \times 1000000 \times \frac{60}{60}} = 0.03 \text{ mm.}$$

bulunur.

### ÖZET

Kayıbolan dişler yerine konan köprü protezleri, üzerine gelen ciğneme yükünü, taşıyıcı sistem elemanlarına; yani, capalar gövde ve dayanaklara aktarır. Bu aktarma sırasında köprü protezinin kendisinin de dış yüze dayanıklı olacak şekilde boyutlandırılması gereklidir. Köprü protezinin verilen dış yükler altında boyutlandırılması, köprü protezinin açılığı (iki dayanak arasındaki uzaklık) yanı sıra, köprü protezinin dayanaklara bağlanış tipine de bağlıdır. Bu çalışmada köprü protezinin dayanaklara simmetre edilmeden önce ve sonraki durumlarını içeren boyutlandırma formülasyonu yapılmıştır. Ulaşılan sonuçlar, değişik açılıklı ve değişik bağlantılı köprü protezlerinin modelleri üzerinde yapılan fotoelastik çalışmalarla incelenmiş ve teorik sonuçların deneyel sonuçlarla uyumu gösterilmişdir.

## S U M M A R Y

Fixed partial dentures transverse the masticating forces to the bone by the supporting elements, namely, retainers pontic and abutment teeth. Therefore, a fixed partial denture must be so designed to stand the external loads which it conveys to the supports. The design of the fixed partial denture under given external loads, depends on the type of the supports, as well as the span (distance between the supports) of the bridge. A formulation has been obtained for the dependence of the size of the x-section of fixed partial denture on the external load.

The theoretical results have been experimentally verified using photoelastic methods on models of fixed partial denture with various spans and supports.

## L I T E R A T Ü R

- 1 — Frocht, M. M.: «Photoelasticity» John Wiley & Sons-1941.
- 2 — İnan, M. : «Cisimlerin Mukavemeti» Arı Kitabevi-1967.
- 3 — Tyiman, S. D. : «Theory and Practice of Crown and Fixed Partial Prosthodontics» pp. 911-922, The C. V. Mosby Company, 1972.
- 4 — Craig, R. G., Peyton, F. A. : «Restorative Dental Materials» Mosby-1975.
- 5 — Uğur, T. : «Sürekli dişlerin mesio-distal boyutlarının saptanması». İ. Ü. Dişhek. Fak. Der. Cilt 9, Sayı 2, sy. 105-143-Haziran 1975.